

بررسی خواص فشاری و ریزساختاری نانو کامپوزیت‌های Al-SiO₂ تولید شده با امواج مافوق صوت و ریخته گری گردابی*

اکرم صالحی^(۱) ابوالفضل بایانخانی^(۲) سید مجتبی زبرجد^(۳)

چکیده

در این تحقیق، نانو کامپوزیت‌های آلمینیومی تقویت شده با ۰/۲۵، ۰/۰۵، ۰/۰۷۵ و ۰/۱٪ وزنی نانوذرات اکسید سیلیسیم، با استفاده از دستگاه امواج مافوق صوت، تولید شدند. ریزساختار زمینه با استفاده از میکروسکوپ‌های نوری و SEM به همراه EDS بررسی شد و از نانوکامپوزیت‌های تولید شده، آزمون فشار گرفته شد. نتایج نشان می‌دهد که افزودن نانوذرات سیلیسیم، با ایجاد مرکز جوانه‌زنی برای ترکیبات بین فلزی باعث اصلاح ساختار آن‌ها و بهبود خواص محصول نهایی خواهد شد و افزودن نانوذرات سیلیسیم تا ۰/۵٪ وزنی، افزایش استحکام محصول نهایی را در بی دارد.

واژه‌های کلیدی نانو کامپوزیت Al-SiO₂; امواج مافوق صوت; SEM; ریزساختار؛ استحکام فشاری.

Investigation of compressive properties and microstructure of Al-SiO₂ nanocomposites produced by ultrasonic and stir casting techniques

A. Salehi

A.Babakhani

S.M. Zebarjad

Abstract

In this study, it is tried to use an inexpensive and new method for fabrication of aluminum matrix nanocomposites reinforced with SiO₂ nano-sized ceramic particles. In this method, ultrasonic device was used for increasing wettability and dispersion of reinforcement nanoparticles within the aluminum melt. After producing aluminum nanocomposites reinforced with 0.25, 0.5, 0.75 and 1.0 wt. % SiO₂, microstructure study of matrix were carried out with an optical microscope and SEM equipped with energy dispersive spectroscopy (EDS). At the end, compression test were taken on produced nanocomposites. The results show that adding SiO₂ nanoparticles will improve structure and properties of the final product by creating nucleation center for intermetallic compounds and also increase compressive strength of produced nanocomposites than the pure Al alloy.

Key Words Al-SiO₂ nanocomposite; ultrasonic; SEM; microstructure; compressive strength.

* نسخه‌ی نخست مقاله در تاریخ ۹۲/۱۰/۱۷ و نسخه‌ی پایانی آن در تاریخ ۹۳/۱۰/۱۴ به دفتر نشریه رسیده است.

(۱) عضو گروه پژوهشی مواد جهاد دانشگاهی مشهد و کارشناس ارشد مهندسی مواد دانشگاه فردوسی.

(۲) نویسنده مسئول: دانشیار گروه مهندسی مواد دانشگاه فردوسی مشهد.

(۳) استاد گروه مهندسی مواد دانشگاه شیراز.

رضایت‌بخش، حین ریخته گری می‌باشد [11]. خواص مکانیکی کامپوزیت‌های زمینه فلزی به‌طور گستره‌ای توسط ساختار و خواص فصل مشترک تقویت‌کننده-فلز کنترل می‌شود. مطالعات نشان داده است که یک فصل مشترک قوی، اجازه توزیع و انتقال نیرو از زمینه به تقویت‌کننده را می‌دهد که نتیجه آن افزایش استحکام و مدول الاستیک است، اما همان‌طور که اندازه ذرات تقویت‌کننده کاهش می‌یابد، بدست آوردن شرایط ترشوندگی مناسب، بسیار مشکل خواهد شد [12].

برای غلبه بر کشش سطحی، می‌توان از یک نیروی مکانیکی استفاده کرد و ترشوندگی را بهبود بخشد. اما در چندین کار تحقیقاتی دریافت شده است که هم زدن مکانیکی به‌نهایی نمی‌تواند مشکل ترشوندگی ضعیف را، زمانیکه آلیاژ زمینه در یک حالت کاملاً مذاب قرار دارد، حل کند. از این رو برای بهبود ترشوندگی ذرات تقویت‌کننده با مذاب، امواج آتراسونیک اعمال شدند و چنین دریافت شد که امواج آتراسونیک، زاویه تماس سیستم را از حالت بدون ترشوندگی به ترشوندگی، تغییر می‌دهد [13,14].

فرایند ترکیب کردن نانوذرات با استفاده از امواج مافوق صوت که بر مبنای روش ذوبی بوده و اخیراً معرفی شده است، روشی مناسب برای پخش یکنواخت نانوذرات و تولید نانوکامپوزیت‌های زمینه فلزی می‌باشد. امواج مافوق صوت به صورت موج سینوسی از میان یک مذاب عبور کرده و سیکل انبساط ایجاد شده در اثر آن، یک فشار منفی را روی مذاب ایجاد می‌کند که مولکول‌ها را به دور از یکدیگر می‌کشد. اگر موج ایجاد شده به اندازه کافی شدید باشد، سیکل انبساط ایجاد شده می‌تواند حفراتی را در مذاب ایجاد کند که به این فرایند، حفره‌زایی گفته می‌شود. به خاطر نوع سینوسی موج صوتی، حباب‌های گازی کوچک ایجاد شده، حالت‌های متناوب انبساط و انقباض را تجربه می‌کنند. اگر اندازه حباب، توان موج ایجاد شده و یا فرکانس، بیشتر از یک آستانه خاص بشوند، فرایند حفره‌زایی گذرا، ایجاد می‌شود [15-17].

مقدمه

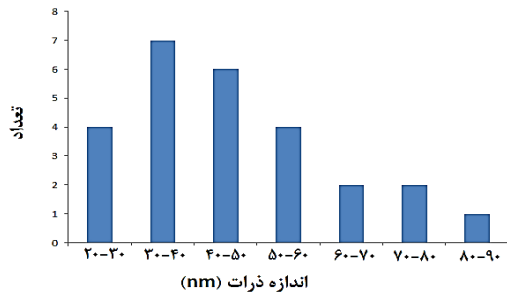
کامپوزیت‌های زمینه فلزی به‌طور گستره‌ای در سال‌های گذشته مطالعه شده‌اند و برای کاربردهایی همچون هوافضا و صنایع نظامی از آن‌ها بهره گرفته شده است [1-3]. با به کارگیری کامپوزیت‌های زمینه فلزی، خواص مکانیکی جالبی مانند مدول ویژه بالا، استحکام بالا، مقاومت خزشی دمای بالا و چگالی پایین را می‌توان بدست آورد [4].

معمولًا برای افزایش استحکام تسليم و نهایی فلز از میکروذرات سرامیکی به عنوان فاز تقویت‌کننده استفاده می‌شود اما استفاده از این ذرات میکرونی، انعطاف‌پذیری کامپوزیت‌های زمینه فلزی را کاهش می‌دهد. از این رو در سال‌های اخیر تلاش شده است که از نانوذرات سرامیکی برای استحکام‌بخشی زمینه‌های فلزی استفاده شود [5]. در این راستا پنگ [6] اشاره کرده است که با افزودن نانوذرات تقویت‌کننده به آلیاژهای آلومینیومی، مقاومت خزشی دمای بالا و عمر خستگی بهبود خواهد یافت.

به تازگی چندین روش مانند آلیاژسازی مکانیکی، نانوزیترینگ، آبکاری الکتریکی، ریخته‌گری، و رسوب لیزر، برای ساخت نانوکامپوزیت‌های زمینه فلزی استفاده شده است که به خاطر صرف وقت و انرژی بالا، بسیار پر هزینه هستند [7]. در این میان، ریخته‌گری به عنوان یک روش ساخت در حالت مذاب، توانایی ساخت محصولات با شکل‌های پیچیده را دارد، بنابراین تولید یک نانو کامپوزیت با پراکنده‌یکنواخت نانوذرات تقویت‌کننده به روش ریخته‌گری، بسیار مقرون به صرفه خواهد بود [8,9]. در روش‌های ریخته‌گری، پراکنده کردن یکنواخت نانوذرات در مذاب، به خاطر ویسکوزیته بالای مذاب، ترشوندگی ضعیف نانوذرات با زمینه فلزی و نسبت سطح به حجم بالای آن‌ها، بسیار سخت است و این مسائل منجر به آگلومراسیون و خوش‌ای شدن نانوذرات در مذاب می‌شود [10].

ترشوندگی فاز سرامیکی جامد و زمینه فلزی مذاب، شرط ضروری برای ایجاد یک پیوند

Research آمریکا با خلوص بیشتر از ۹۸٪، به عنوان فاز تقویت کننده استفاده شد. پراکندگی نانوذرات و محاسبه اندازه آن‌ها با معلق سازی در محلول ۵۰٪ NH₃-۵۰٪ H₂O و با استفاده از دستگاه اندازه-گیری ذرات CORDOUAN مدل 3 VASCO ساخت کشور فرانسه، با استفاده از نور لیزر با طول موج nm ۶۵۷ انجام گرفت (شکل ۱).



شکل ۱ منحنی اندازه نانوذرات اکسید سیلیسیم.

نمونه‌های نانوکامپوزیتی با مقادیر ۰/۲۵٪، ۰/۵٪ و ۱ درصد وزنی نانوذرات اکسید سیلیسیم تولید شدند. برای این منظور، ابتدا شمش آلیاژی در کوره‌ای با دمای ۶۸۰±۱۰°C ذوب شد و برای افزایش ترشوندگی نانوذرات سرامیکی، ۳/۵ درصد وزنی آلیاژ ترشوندگی نانوذرات سرامیکی، ۵۰wt%Al-۵۰wt%Mg به مذاب اضافه شد. سپس با توجه به درصد وزنی لازم برای هر نمونه، نانوذرات SiO₂ به مذاب اضافه شدند و مذاب با سرعت ۷۰۰ دور بر دقیقه و با استفاده از تکنیک ریخته‌گری گردابی، هم زده شد. بررسی سطح مذاب در این مرحله نشان می‌داد که مقداری از نانوذرات بدون اینکه وارد مذاب شوند روی سطح انباسته شده‌اند. از این رو پس از اینکه مذاب به مدت کافی (۱۵±۳ دقیقه) به کمک همزن مکانیکی هم زده شد، پروب دستگاه آلتراسونیک مدل BANRY شکل (۲) وارد مذاب شده و با فرکانس ۲۰kHz به مدت ۱۰-۱۵ دقیقه مذاب را متلاطم کرد تا فرایند ترشوندگی و پخش نانوذرات در مذاب آلیاژی را بیش از پیش بهبود بخشد.

در این فرایند، حباب‌ها مدت زیادی پایدار نیستند و فشار ایجاد شده در مراحل بعدی باعث در خود فروپاشی حباب‌ها می‌شود. این اتفاق، می‌تواند یک محیط غیرمعمولی را برای واکنش‌های شیمیایی ایجاد کند. لحظه انفجار را نقطه داغ می‌نامند که می‌تواند به‌طور مقطعی دمایی تا حدود ۵۰۰۰°C و فشار

۱۰۰۰atm و نرخ گرم کردن و سرد کردن بیشتر از ۱۰ K/s را ایجاد کند که به‌طور مؤثری نانوذرات را در فلزات آلیاژی پراکنده کرده و ترشوندگی آن‌ها را افزایش می‌دهد. از امواج مافق صوت حتی می‌توان به عنوان یک عامل حذف کننده حفرات گازی در ریخته‌گری فلزات استفاده کرد [۱۸, ۱۹].

تاکنون تحقیق جامعی در جهت تولید نانو-کامپوزیت Al-SiO₂ با کمک امواج مافق صوت و ریخته‌گری گردابی و همچنین بررسی‌های ریزساختاری آن‌ها صورت نگرفته است. از این رو هدف از انجام تحقیق حاضر، تولید نانو کامپوزیت آلومینیومی تقویت شده با درصد‌های وزنی مختلف نانوذرات سیلیکا به روش ریخته‌گری و مطالعه ریزساختار و خواص فناوری آن‌ها می‌باشد.

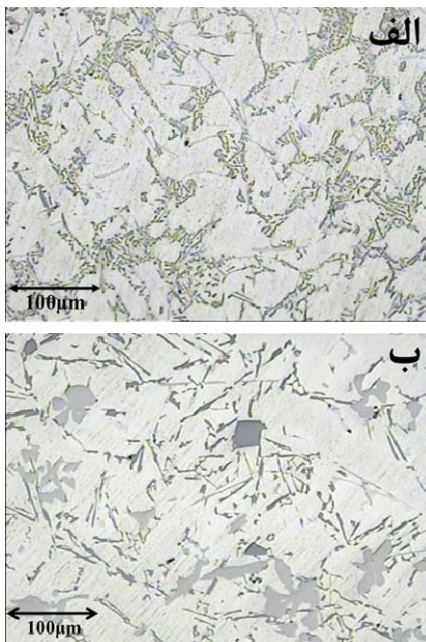
روش آزمایش

آلیاژ آلومینیوم (BS1490) LM2، محصول شرکت تولیدی و صنعتی آلیاژسازان نقش جهان، با ترکیب نشان داده شده در جدول (۱) به عنوان ماده زمینه انتخاب شد که قابلیت ذوب مناسب، به خاطر درصد بالای سیلیسیم، از ویژگی‌های آن می‌باشد.

برای انتخاب یک تقویت‌کننده مناسب برای نانو کامپوزیت آلومینیومی، فاکتورهای مهمی مانند چگالی، ترشوندگی و واکنش‌پذیری شیمیایی در دماهای بالا باشیست در نظر گرفته شود [۲۰]. بر این اساس از نانوذرات اکسیدسیلیسیم، محصول شرکت US

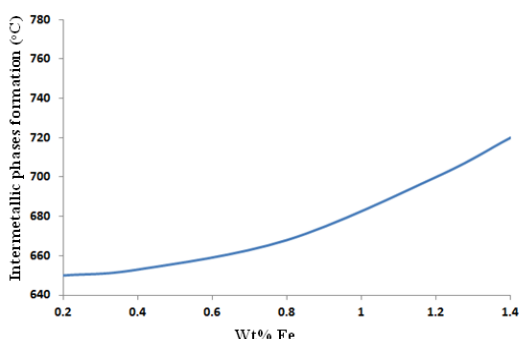
جدول ۱ ترکیب شیمیایی آلیاژ زمینه.

عنصر	درصد وزنی
Al	۰/۱۵
Pb	۱/۴۶
Zn	۰/۲۳
Mg	۰/۱۴
Mn	۰/۸۳
Cu	۱/۱۶
Fe	۸/۶۲
Si	
باقیمانده	



شکل ۳ بررسی های میکروسکوپی نوری از ریزساختار (الف) آلیاژ آلومینیم اولیه، پس از ذوب شدن و قبل از کامپوزیت سازی، (ب) نانو کامپوزیت $Al-0.5wt\%SiO_2$

لیبو و جی [۲۱] نشان دادند که آلیاژ های آلومینیمی که در ساختارشان آهن وجود دارد، چنانچه در دمایی نزدیک به دمای تشكیل ترکیبات بین فلزی حاوی آهن، مجدداً ذوب شوند، آهن موجود در زمینه می تواند با آلومینیم و سیلیسیم، ترکیبات بین فلزی مختلفی تشكیل دهد. همچنین شبستری [۲۲] نشان داد که هرچه مقدار آهن موجود در زمینه آلیاژ آلومینیم بیشتر باشد دمای تشكیل ترکیبات بین فلزی، بیشتر می شود (شکل ۴).



شکل ۴ افزایش دمای تشكیل ترکیبات بین فلزی در آلیاژ های آلومینیم، با افزایش درصد وزنی آهن [۲۲].



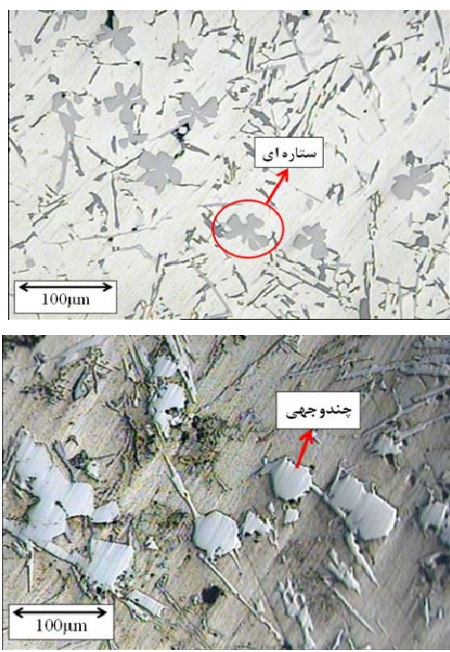
شکل ۲ دستگاه آلترا صوتی استفاده شده برای پخش نانوذرات در مذاب.

پس از این مرحله مذاب از بوته خارج و در هوای آزاد سرد شد. به منظور مشاهده ریز ساختار و توزیع نانوذرات اکسید سیلیسیم در نمونه های نانو کامپوزیتی حاصل، بررسی های میکروسکوپی توسط میکروسکوپ نوری Olympus و میکروسکوپ الکترونی رویشی (LEO 1450VP (35kV) انجام گرفت. برای مشاهده ساختار توسط میکروسکوپ الکترونی رویشی، نمونه ها مانت شده و پس از سنباده زنی و پولیش، توسط لایه ای از طلا پوشش داده شدند. سپس برای انجام آزمون فشار، دستگاه ZWICK (Z250) و با سرعت حرکت فک $3/1 \text{ mm/min}$ مورد استفاده قرار گرفت و هر آزمون دو بار در دمای اتاق تکرار شد.

نتایج و بحث

بررسی های ریزساختاری. به منظور انجام بررسی های ریزساختاری، نمونه ای از آلیاژ آلومینیوم غیر کامپوزیتی (پس از ذوب شدن و قبل از انجام فرایند کامپوزیت سازی) و همچنین نمونه ای از نانو کامپوزیت های تولید شده با استفاده از امواج مافوق صوت، توسط میکروسکوپ نوری مورد بررسی قرار گرفتند (شکل ۳). همان طور که از مقایسه تصاویر بدست آمده در شکل (۳) دیده می شود، ریزساختار آلیاژ پس از انجام فرایند کامپوزیت سازی، به طور کامل تغییر کرده است.

(۶) نشان داده شده است.



شکل ۶ اشکال مختلف ترکیبات بین فلزی ناشی از حضور آهن در نانو کامپوزیت تولید شده با ۰/۵٪ وزنی نانوسیلیس.

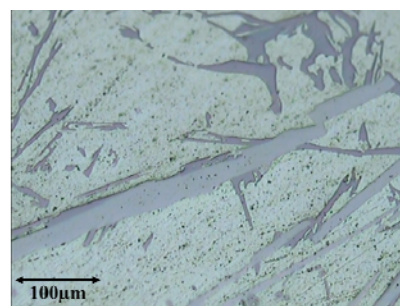
کیکو [۲۵] و همکارانش برای بررسی نقش نانوذرات در اصلاح ساختار آلیاژهای آلومینیومی، نانوذرات TiC و Al_2O_3 را با استفاده از امواج مافوق صوت به مذاب آلیاژ آلومینیوم A356 اضافه کردند. آنها نشان دادند که این نانوذرات باعث کاهش مادون انجماد در آلیاژ مربوطه شده و این قابلیت را دارند که به عنوان مراکز جوانه‌زنی جهت اصلاح ساختار آلیاژ آلومینیوم عمل کنند. از این‌رو پیش‌بینی می‌شود نانوذرات اکسید سیلیسیم استفاده شده در این تحقیق، مانند مراکز جوانه‌زنی در زمینه آلیاژ آلومینیم عمل کرده و فازهای تشکیل شده را اصلاح کرده‌اند.

در حین انجماد آلیاژهای آلومینیومی تقویت شده با نانوذرات اکسیدی، به خاطر نفوذ گرمایی و هدایت حرارتی پایین‌تر نانوذرات در مقایسه با زمینه، جوانه‌زنی فاز آلومینیوم در فاصله دورتری از نانوذرات (جایی که دما کمتر است) آغاز می‌شود. این عمل منجر به غنی شدن مذاب اطراف نانوذرات تقویت کننده، از سیلیسیوم و سایر عناصر موجود در مذاب، خواهد شد.

با توجه به شکل (۴) و با در نظر گرفتن اینکه آلیاژ مورد استفاده در این تحقیق، حداقل ۱/۱۶٪ وزنی آهن در زمینه خود دارد، دمای تشکیل ترکیبات بین فلزی در این آلیاژ بالاتر از 680°C خواهد بود. به منظور بررسی ترکیبات بین فلزی ایجاد شده، ساختار آلیاژ در دو حالت مختلف مورد بررسی قرار گرفت:

آلیاژ در دمای $680 \pm 10^{\circ}\text{C}$ ذوب شد و سپس به مدت ۲۰ دقیقه توسط همزنی که برای فرایند کامپوزیت‌سازی طراحی شده بود، هم زده شد. آلیاژ در دمای $680 \pm 10^{\circ}\text{C}$ ذوب شد و سپس به مدت ۰/۵ دقیقه توسط همزنی که برای فرایند سیلیسیم به آن اضافه شد و به مدت ۲۰ دقیقه هم زده شد.

زمانی که آلیاژ تحت فرایند I گرفت، ساختارهای بین فلزی به صورت تیغه‌های بسیار بزرگ و خشن دیده شدند (شکل ۵). علت این امر به این نکته برمی‌گردد که فرایند تشکیل ترکیبات بین فلزی در آلیاژهای آلومینیم-سیلیسیم بوسیله مکانیزم‌های جوانه‌زنی و رشد کترل می‌شود. در این آزمایش، فرایند رشد، فرایند غالب بوده و باعث شده است با گذشت زمان، اندازه تیغه‌ها بزرگ‌تر شود. این ترکیبات بین فلزی ناشی از حضور آهن که ساختارهای تیغه‌ای شکل درشت و خشن دارند، باعث افت خواص مکانیکی آلیاژ شده و به عنوان یک ساختار مضر در آلیاژهای آلومینیومی مطرح می‌شوند [۲۳ و ۲۴].

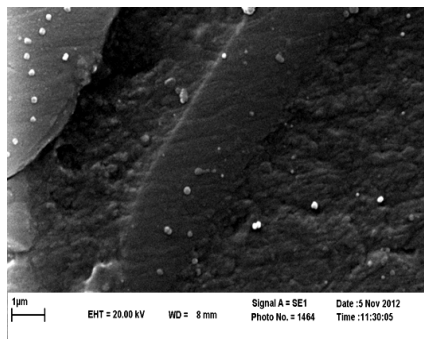


شکل ۵ ترکیبات بین فلزی تیغه‌ای شکل در آلیاژ آلومینیم. نتیجه بررسی میکروساختار بدست آمده از آزمایش II که محصول آن کامپوزیت آلومینیم + ۰/۵٪ درصد وزنی نانوذرات اکسید سیلیسیم است، در شکل

جدول ۲ ترکیب شیمیایی فاز $\text{Al}_{12}\text{Fe}_3\text{Si}_2$

عنصر	Al	Fe	Si
درصد وزنی	۵۱	۳۴	۱۴

پس از انجام بررسی‌های میکروسکوپی نوری، برای بررسی حضور و همچنین نحوه پراکندگی نانوذرات اکسید سیلیسیم، نمونه‌های نانوکامپوزیتی تولید شده با استفاده از میکروسکوپ الکترونی روبشی مورد بررسی قرار گرفتند (شکل ۸).



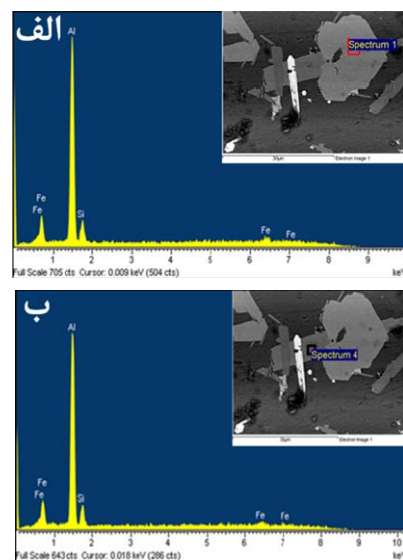
شکل ۸ پراکندگی نانوذرات اکسید سیلیسیم در زمینه نانو کامپوزیت $\text{Al}-0.5\text{wt\%SiO}_2$ تولید شده.

همان طور که دیده می‌شود، نانوذرات به خوبی در زمینه پراکنده شده‌اند. اگرچه تعدادی نانوذرات خوش‌های شده در زمینه دیده می‌شود که با افزایش درصد وزنی فاز تقویت‌کننده، همان‌طور که در شکل (۹) نشان داده شده است، مقدار آن‌ها بیشتر می‌شود. عقیده بر این است که فرایند حفره‌زایی گذراخ ایجاد شده در اثر امواج مافوق صوت، باعث فروپاشی شدید میکروحفرات گازی اطراف خوش‌های نانوذرات می‌شود، خوش‌های را می‌شکند و نانوذرات را در زمینه پراکنده می‌کنند. بعلاوه، حفره‌زایی گذراخ، لایه گازی را از سطح نانوذرات خارج کرده و ترشوندگی بین نانوذرات و زمینه را به‌طور مؤثری بهبود می‌بخشد [۲۷].

بررسی خواص فشاری. شکل (۱۰) منحنی‌های تنش-کرنش فشاری آلومینیوم غیرکامپوزیتی و نمونه‌های نانوکامپوزیتی تولید شده با درصدهای وزنی مختلف از نانوذرات سیلیکا و جدول (۳)، نتایج

بنابراین سطوح نانوذرات تقویت کننده می‌توانند به عنوان زیرلایه‌های مناسبی برای جوانه‌زنی فازهای موجود در زمینه، عمل کنند. فرایند اصلاح ساختارهای بین‌فلزی با تغییر دادن تیغه‌های درشت اولیه به اشکال مختلف ستاره‌ای، سوزنی و چندوجهی (پلی هدرال) انجام می‌شود. این اشکال بوجود آمده از ترکیبات بین‌فلزی حاوی آهن، نه تنها خواص مکانیکی آلیاژ را کاهش نمی‌دهند بلکه به عنوان یک فاز سخت و با پایداری حرارتی بالا عمل کرده و از افت استحکام و سختی آلیاژ در دمای بالا جلوگیری می‌کنند [۲۶].

در شکل (۷) نتیجه آنالیز EDS دو ساختار مختلف از ترکیبات بین‌فلزی ناشی از حضور آهن در نانوکامپوزیت آلومینیومی تولید شده، نشان داده شده است. همان‌طور که دیده می‌شود با اینکه یکی از آن‌ها ساختار سوزنی و دیگری ساختار چندوجهی دارد، هر دو ترکیب یکسانی را نشان می‌دهند.



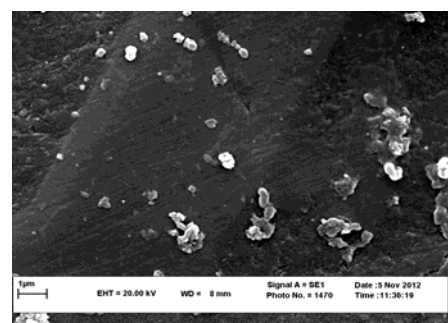
شکل ۷ آنالیز EDS از یک ترکیب بین‌فلزی ولی با دو شکل مختلف، (الف) چندوجهی و (ب) سوزنی.

درصد وزنی عناصر بدست آمده از آنالیز EDS (۷-الف)، در جدول (۲) آورده شده است. باب بررسی مقادیر نشان داده شده در جدول (۲)، پیش‌بینی می‌شود فازهای بین‌فلزی موجود در نمونه‌های نانوکامپوزیتی ساخته شده که اغلب ساختار چندوجهی دارند، نشان دهنده ترکیب $\text{Al}_{12}\text{Fe}_3\text{Si}_2$ می‌باشند.

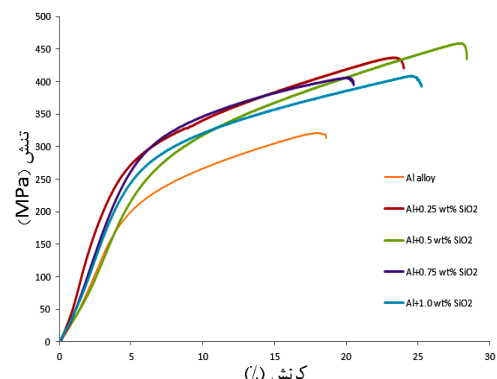
استحکام بخشی اوروان می‌باشد [2]. اما مقدار افزایش استحکام در نمونه‌های مختلف متفاوت است، به طوریکه با افزایش نانوذرات سیلیکا تا $0/5$ درصد وزنی، استحکام به طور صعودی افزایش می‌یابد اما در مقادیر فاز تقویت‌کننده بیشتر ($0/75$ و $1/0$ درصد وزنی)، استحکام نمونه‌ها کمتر شده است.

بر اساس رابطه هولومان ($\sigma = k\epsilon^n$)، با کاهش توان کارسختی، نرخ کارسختی افزایش می‌یابد. طبق نتایج نشان داده شده در جدول (۳) می‌توان دید که کارسختی نمونه‌های تولید شده، با افزایش درصد فاز تقویت‌کننده تا $0/5$ % وزنی افزایش و سپس کاهش یافته‌اند. به نظر می‌رسد تغییرات مشاهده شده در رفتار کارسختی و استحکام فشاری نمونه‌های تولید شده، ناشی از خوشبای شدن نانوذرات و افزایش تخلخل در اثر کاهش قدرت دستگاه امواج مافوق صوت (به خاطر افزایش ویسکوزیته مذاب در درصدهای وزنی بالای فاز تقویت‌کننده) می‌باشد. در مقادیر بیشتر فاز تقویت‌کننده، فرایند آگلومره شدن، مقدار نانوذرات مؤثر در زمینه را کاهش می‌دهد و از آنجایی که، مکانیزم استحکام بخشی اوروان یکی از مهمترین مکانیزم‌ها در افزایش استحکام نانوکامپوزیت‌ها می‌باشد، استحکام نهایی نمونه کاهش خواهد یافت [7]. مظاهری [3] نیز در کار تحقیقاتی خود نشان داد که با افزایش مقدار فاز تقویت‌کننده، میکرو حفرات موجود در محصولات نانوکامپوزیتی افزایش می‌یابد که می‌تواند کاهش خواص فشاری محصول نهایی را در پی داشته باشد.

حاصل از بررسی رفتار کارسختی نمونه‌های تولید شده را نشان می‌دهد.



شکل ۹ خوشبای شدن نانوذرات SiO_2 در زمینه نانو کامپوزیت $\text{Al}-1.0\text{wt\%SiO}_2$ تولید شده.



شکل ۱۰ منحنی‌های فشاری آلیاژ آلومینیوم غیر کامپوزیتی و نانو کامپوزیت‌های $\text{Al}-\text{SiO}_2$

همان‌طور که دیده می‌شود تمام نمونه‌های نانوکامپوزیتی، استحکامی به مرتب بیشتر از آلیاژ آلومینیوم اولیه دارند. این افزایش استحکام، ناشی از عواملی مانند حضور نانوذرات سرامیکی در زمینه، تولید نابجایی در اثر عدم انتظام مدول الاستیک و ثابت انساط حرارتی زمینه و فاز تقویت‌کننده، انتقال نیرو از زمینه به فاز تقویت‌کننده و همچنین مکانیزم

جدول ۳ نتایج حاصل از بررسی رفتار فشاری و کارسختی نمونه‌های تولید شده.

نمونه	فار تقویت‌کننده (%wt)	استحکام فشاری (MPa)	تون کار سختی (n)
۱	۰	۳۲۱	۰/۳۳۹۲
۲	۰/۲۵	۴۳۷	۰/۲۹۴۴
۳	۰/۵	۴۵۳	۰/۲۴۶۲
۴	۰/۷۵	۴۰۵	۰/۲۵۶۸
۵	۱/۰	۴۰۳	۰/۲۶۹۱

تخلخل به خاطر کاهش قدرت دستگاه آلتراسونیک که ناشی از افزایش ویسکوزیته مذاب می‌باشد، استحکام کاهش می‌یابد، به طوریکه استحکام نمونه تقویت شده با 10% وزنی نانوذرات SiO_2 نسبت به نمونه تقویت شده با 5% وزنی نانوذرات SiO_2 11% کاهش را نشان داد.

تشکر و قدردانی

از جناب آقای مهندس محمدصادق ابروی، عضو گروه پژوهشی مواد جهاد دانشگاهی مشهد، به خاطر راهنمایی‌ها یشان در جهت پیشبرد این طرح، تقدیر و تشکر می‌گردد.

نتیجه‌گیری

- بررسی‌های ریزساختاری نشان داد که استفاده از روش هم زدن مکانیکی و اعمال امواج مافوق صوت، پراکنده‌گی یکنواخت فاز تقویت‌کننده در زمینه را به دنبال خواهد داشت و با ایجاد ترکیبات بین فلزی ستاره‌ای شکل، سوزنی و چندوجهی، سبب اصلاح ساختارهای بین فلزی می‌شود.
- بررسی خواص فشاری، نشان داد که استحکام فشاری و نرخ کار سختی تمام نمونه‌های نانوکامپوزیتی از آلیاژ آلمینیوم اولیه بیشتر است و افروden نانوذرات سیلیکات 5% درصد وزنی باعث افزایش استحکام محصول نهایی تا 41% خواهد شد.
- در مقادیر بیشتر از 5% وزنی نانوذرات SiO_2 ، در اثر کلوخه‌ای شدن نانوذرات در زمینه و افزایش

مراجع

- Park, J., Lee, S., Lee, M., Rhee, C., "Dispersion of ultrafine SiC particles in molten Al-12Si alloy", *Trans. Nonferrous Met. Soc.China*, Vol. 21, pp. s33-s36, (2011).
- Prater, T., "Friction Stir Welding of Metal Matrix Composites for use in aerospace structures", *Acta Astronautica*, Vol. 93, pp. 366-373, (2014).
- El-Kady, O., Fathy, A., "Effect of SiC particle size on the physical and mechanical properties of extruded Al matrix nanocomposites", *Materials & Design*, Vol. 54, pp. 348-353, (2014).
- Karimzadeh, F., Rastar, V., Enayati, M.H., "Thermal Stability and Mechanical Properties of Al-Al₂O₃ Nanocomposite Produced by Mechanical Milling and Hot-Pressing", Proceedings of the International Conference Nanomaterials: Applications and Properties, Vol. 1, (2012).
- Li, X., Yang, Y., Cheng, X., "Ultrasonic-assisted fabrication of metal matrix nanocomposites", *Journal of Materials Science*, Vol. 39, pp. 3211 – 3212, (2004).
- Peng, L.M., Zhu, S.J., "Creep of metal matrix composites reinforced by combining nano-sized dispersoids with micro-sized ceramic particulates or whiskers (review)", Vol. 18, pp. 215-254, (2003).
- Yu, H., "Processing Routes for Aluminum based Nano-Composites", Worcester, M. Sc. Thesis, (2010).
- Saberi, Y., Zebarjad, S.M., Akbari, G.H., "On the role of nano-size SiC on lattice strain and grain size of Al/SiC nanocomposite", *Journal of alloys and compounds*, Vol. 484, pp. 637-640, (2009).
- Hashim, J., Looney, L., Hashmi, M.S.J., "Metal matrix composites: production by the stir casting method", *Journal of Materials Processing Technology*, Vol. 92-93, pp. 1-7, (1999).
- Yang, Y., Lan, J., Li, X., "Study on bulk aluminum matrix nano-composite fabricated by ultrasonic

- dispersion of nano-sized SiC particles in molten aluminum alloy", *Materials Science and Engineering A*, Vol. 380, pp. 378–383, (2004).
11. OH, S.Y., Cornie, J.A. and Russell, K. C., "Wetting of Ceramic Particulates with Liquid Aluminum Alloys: Part II. Study of Wettability", *Metallurgical Transactions A*, Vol. 20A, pp. 533-541, (1989).
 12. Hashim, J., Looney, L., Hashmi, M.S.J., "The wettability of SiC particles by molten aluminium alloys", *Journal of Materials Processing Technology*, Vol. 119, pp. 324-328, 2001.
 13. Zhou, W. and Xu, Z. M., "Casting of SiC Reinforced Metal Matrix Composites", *Journal of Materials Processing Technology*, Vol. 63, pp. 358-363, (1997).
 14. Donthamsetty, S. and Rao, D. N., "Investigation on mechanical properties of A356 nanocomposites fabricated by ultrasonic assisted cavitation", *Journal of Mechanical Engineering*, Vol. 41, pp. 121-129, (2010).
 15. Sanchez, M.C.T., "Generation of heterogeneous cellular structures by sonication", United Kingdom, ph. D. Thesis, (2008).
 16. Borgonovo, C., "Aluminum Nano-composites for Elevated Temperature Applications", Worcester, M. Sc. Thesis, (2010).
 17. Wang, J., He, Z.S., Wu, J.H., Wan, Z.P., "Effect of Ultrasonic Wave on Melt Foaming Process of Aluminum Foam", *Advanced Materials Research*, Vol. 97-101, pp. 227-230, (2010).
 18. Suslick, K. S., Didenko, Y., Fang, M., "Acoustic cavitation and its chemical consequences", *Phil. Trans. R. Soc. Lond. A*, Vol. 357, pp. 335-353, (1999).
 19. Suslick, K. S., "The chemical and physical effects of ultrasound", *Scientific American*, pp. 80-86, (1989).
 20. Bo, L., Xiaoguang, Y. and Hongjium, H., "Microstructure and mechanical properties of hypereutectic Al-Fe alloys prepared by semi-solid formation", *china foundry journal*, Vol. 8, pp. 424-431, (2011).
 21. Ji, S., Yang, W., Gao, F., Watson, D., Fan, Z., "Effect of iron on the microstructure and mechanical property of Al-Mg-Si-Mn and Al-Mg-Si diecast alloys", *Materials Science and Engineering A*, Vol. 564, pp. 130-139, (2013).
۲۲. سعید شبستری، "سینتیک تشکیل ترکیبات بین فلزی در آلیاژهای آلمینیوم"، نشریه مهندسی متالورژی، شماره ۱۱، (۱۳۸۰)، ۱۵-۲۲.
۲۳. علیرضا دمان، علی شفیعی، مسعود امامی قمی، سعید شبستری، "بررسی نقش بهسازی ریز ساختار و خواص آلیاژ A413"، مجله مهندسی مکانیک، شماره ۴۴، ۴۰-۴۸، (۱۳۸۴).
۲۴. حسین یاد الله تبار، سعید شبستری، حسن ثقفیان و محمود شهبازی، "بررسی تاثیر ارتعاش، جوانه زایی و بهسازی بر ساختار و خواص مکانیکی آلیاژ آلمینیوم A380"، نشریه دانشکده فنی، شماره ۸، ۱۰۹۳-۱۰۸۱، (۱۳۸۶).
25. Cicco, Michael P. De., Turng, Lih-Sheng., Li, Xiaochu., Perepezko, John H., "Nucleation Catalysis in Aluminum Alloy A356 Using Nanoscale Inoculants", *Metallurgical and materials transactions A*, Vol. 42A, pp. 2323-2330, (2011).

۲۶. احسان پرشید فرد، محسن قنبری حقیقی و سعید شبستری، "بررسی ریز ساختار حاصل از شکل‌دهی نیمه جامد آلیاژ Al-Si9-Fe4-Mn2 تهیه شده به روش تبلور مجدد و ذوب جزئی ساختار تغییر فرم یافته"، ریخته گری، شماره ۹۴، ۱۳۸۸، ۳۱-۳۸.
27. Li, X., Yang, Y., Weiss, D., "Ultrasonic Cavitation Based Dispersion of Nanoparticles in Aluminum Melts for Solidification Processing of Bulk Aluminum Matrix Nanocomposite: Theoretical Study, Fabrication and Characterization", Transactions American Foundrymens SOCIETY, pp. 249-260, (2007).
28. Sajjadi, S.A., Ezatpour, H.R., Beygi, H., "Microstructure and mechanical properties of Al-Al₂O₃ micro and nanocomposites fabricated by stir casting", *Materials Science and Engineering A*, Vol. 528, pp. 8765-8771, (2011).
29. Tsunekawa, Y., Suzuki, H., Genma, Y., "Application of ultrasonic vibration to in situ MMC process by electromagnetic melt stirring", *Materials & Design*, Vol. 22, pp. 467-472, (2001).
30. Mazaheri, A., Ostadshabani, M., "Investigation on mechanical properties of nano-Al₂O₃-reinforced aluminum matrix composites", *composite materials*, Vol. 45, pp. 2579-2586, (2011).